

**WŁASNOŚCI SPEKTROSKOPOWE KOMPLEKSÓW UTWORZONYCH  
PRZEZ TLENEK GRAFENU I POCHODNĄ PORFIRYNY Z GRUPĄ ARYLOWĄ**

**SPECTROSCOPIC PROPERTIES OF THE COMPLEXES FORMED  
BY GRAPHENE OXIDE AND DERIVATIVE OF PORPHYRIN WITH ARYL  
GROUPS**

**Natalia Rosiak**

Wydział Fizyki Technicznej Politechniki Poznańskiej  
Politechnika Poznańska  
ul. Piotrowo 3  
60-965 Poznań  
e-mail: natalia3991@wp.pl

**Andrzej Bogucki**

**Roman Świetlik**

**Kornelia Lewandowska**

Instytut Fizyki Molekularnej Polskiej Akademii Nauk  
Zakład Kryształów Molekularnych  
ul. Smoluchowskiego 17  
60-179 Poznań

**Abstract:** Hybrid systems based on graphene oxide (GO) modified by organic molecules with the properties of donor and acceptor are very popular. The researches made in the last few years show that these structures have a really interesting photoelectrochemical properties. The ability of graphene oxide to effectively capture electrons, e.g. of porphyrins suggests the potential use of such materials in photovoltaics and molecular optoelectronics. This implies that further research of this group of molecular materials is very important from the point of view of their applications in diodes and transistors.

The goal of the research was to create new hybrid systems with donor-acceptor properties, consisting of graphite oxide and porphyrin 5,10,15,20-Tetrakis (4-hydroxyphenyl) -21H, 23H-porphine. The resulting hybrid structure has been characterized by spectroscopic investigation in a wide spectral range from ultraviolet to infrared.

**Keywords:** Graphene Oxide, porphyrin, hybrid system, photovoltaics, UV-Vis spectroscopy, infrared spectroscopy.

## **Wprowadzenie**

Mimo, iż tlenek grafenu (ang. GO) jest znany od 1859 roku, to wciąż jego struktura nie jest jednoznacznie określona. Na przestrzeni lat zaproponowanych zostało wiele jego modeli. W 1969 roku Scholz and Boehm zaproponowali strukturę GO składającą się z połączonych warstw węglowych (rys. 1a). Grupy epoksydowe i eterowe zostały zastąpione przez grupy karbonylowe i hydroksylowe. Z drugiej strony grupa Nakajima zaproponowała model GO, składający się z dwóch warstw węgla połączonych ze sobą przez wiązanie  $\sigma$  węgiel-węgiel o hybrydyzacji  $sp^3$ , które jest prostopadłe do warstw oraz grup karbonylowych i hydroksylowych (rys. 1b) [4, 11, 14].

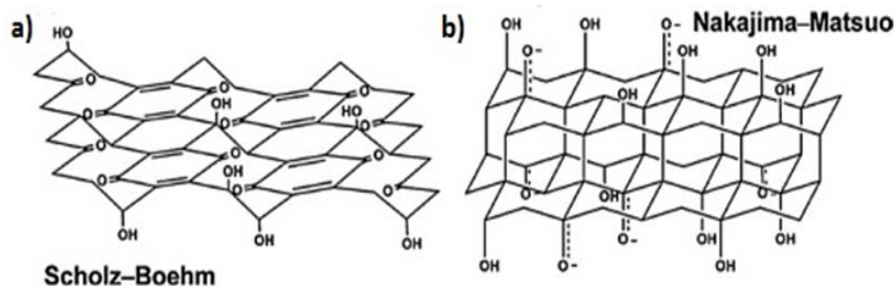
GO charakteryzuje się znaczną różnorodnością dostępnych sposobów wiązania innych cząsteczek. Zróżnicowanie podstawników obecnych w GO pozwala

na kontrolowanie hydrofilowości materiału oraz zwiększenie jego rozpuszczalności w typowych rozpuszczalnikach, co ułatwia jego dalszą obróbkę [7]. Grupy funkcyjne rozmieszczone na GO silnie wpływają natomiast na jego właściwości elektryczne, mechaniczne i elektrochemiczne [4].

Porfiryny natomiast są znane już od 1912 roku, a badania nad nimi i ich analogami należą do jednej z dynamicznie rozwijających się dziedzin chemii. O dużym zainteresowaniu tymi strukturami świadczy liczba artykułów dotyczących wszystkich możliwych zagadnień związanych z syntezą, budową, właściwościami i zastosowaniem porfiryn [15]. Najważniejszymi cechami charakteryzującymi porfiryny są ich unikatowe właściwości spektroskopowe, luminescencyjne (fluorescencja i fosforescencja), magnetyczne (para- i diamagnetyzm), a także ich trwałość termiczna, fotoprzewodnictwo, fotoemisja oraz aktywność powierzchniowa.

Porfiryny posiadają silne właściwości kompleksujące, mogą ulegać reakcjom substytucji wolnorodnikowej oraz

aromatycznej substytucji elektrofilowej zachodzącej w pozycjach meso lub beta.



Rys. 1. Struktury tlenku grafenu zaproponowane przez: a) Scholza-Boehma b) Nakajima-Matsuo [4, 14].

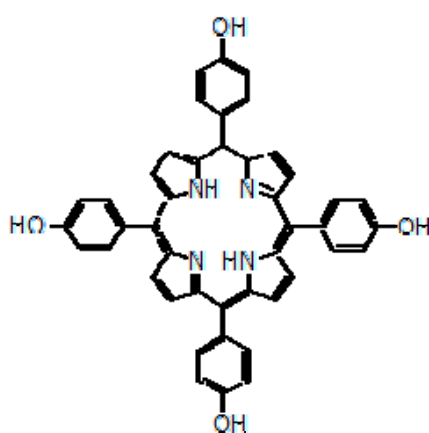
Porfiryny natomiast są znane już od 1912 roku, a badania nad nimi i ich analogami należą do jednej z dynamicznie rozwijających się dziedzin chemii. O dużym zainteresowaniu tymi strukturami świadczy liczba artykułów dotyczących wszystkich możliwych zagadnień związanych z syntezą, budową, właściwościami i zastosowaniem porfiryn [15]. Najważniejszymi cechami charakteryzującymi porfiryny są ich unikatowe właściwości spektroskopowe, luminescencyjne (fluorescencja i fosforescencja), magnetyczne (para- i diamagnetyzm), a także ich trwałość termiczna, fotoprzewodnictwo, fotoemisja oraz aktywność powierzchniowa. Porfiryny posiadają silne właściwości kompleksujące, mogą ulegać reakcjom substytucji wolnorodnikowej oraz aromatycznej substytucji elektrofilowej zachodzącej w pozycjach meso lub beta.

Połączenie dwóch tak interesujących struktur o charakterystycznych właściwościach fizykochemicznych, stwarza możliwości otrzymania materiałów o unikalnych parametrach fotoelektrochemicznych, które w przyszłości

mogą stać się podstawowymi elementami w optoelektronice. W ostatnich latach ukazało się wiele prac potwierdzających możliwość stworzenia takich struktur i opisujących ich potencjalne zastosowanie [8, 12, 15, 16, 19].

### Materiał i metody

W badaniach został wykorzystany tlenek grafenu (GO) otrzymany na drodze syntezy modyfikowaną metodą Hummersona. Synteza GO została przeprowadzona na Wydziale Metali Nieżelaznych na Akademii Górniczo-Hutniczej w Krakowie. Porfiryne 5,10,15,20-Tetrakis(4-hydroksyfenyl)-21H,23H-porfiryna (rys. 2), oznaczona jako P3 została zakupiona z firmy Sigma-Aldrich. Układ hybrydowy tlenku grafenu modyfikowanego porfirydami otrzymano mieszając ze sobą roztwór GO o stężeniu 100 mg/l z porfirydą o stężeniu  $10^{-4}$  M. Rozpuszczalnikiem dla próbek był dimetyloformamid (DMF).



Rys. 2. Wzór strukturalny porfiryny użytej do modyfikacji powierzchni GO.

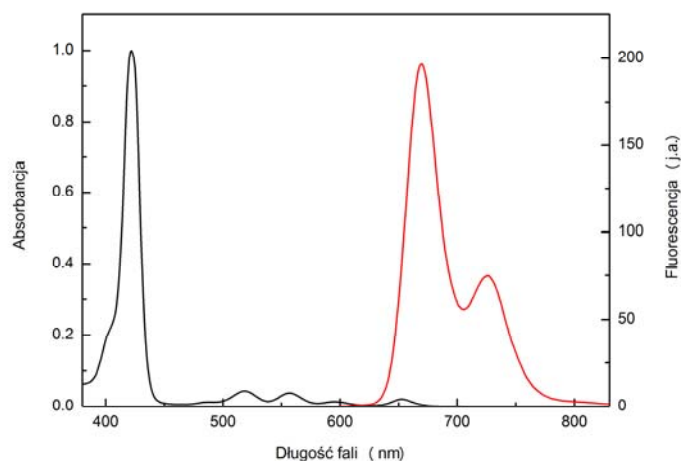
Pomiary widm w zakresie UV-Vis były wykonane za pomocą spektrofotometru firmy Hitachi (model U-2800). Rejestracji widm dokonano w zakresie 200-1000 nm w kwekach kwarcowych 1 mm i 10 mm w zależności od

stężenia badanego materiału. Pomiary widm fluorescencji były wykonane za pomocą fluorymetru firmy Hitachi (model F-7000). Długość fali wzbudzenia była uwarunkowana maksimum pasma absorpcji Soreta i

wynosiła 418 nm. Pomiary widm w zakresie podczerwieni były wykonywane przy pomocy spektrometru fourierowskiego FT-IR Equinox 55 firmy Bruker wyposażonego w mikroskop Bruker Hyperion 1000. Badania zostały przeprowadzone metodą transmisyjną w zakresie 400 - 4000  $\text{cm}^{-1}$ , dla materiałów w postaci proszków. Widma rozpraszania ramanowskiego zostały zarejestrowane przy pomocy spektrometru dyspersyjnego Labram HR 800 Horiba Jobin Yvon przy użyciu długości fali lasera 458 nm. Moc wiązki lasera wynosiła około 0,28 mW.

## Wyniki i dyskusja

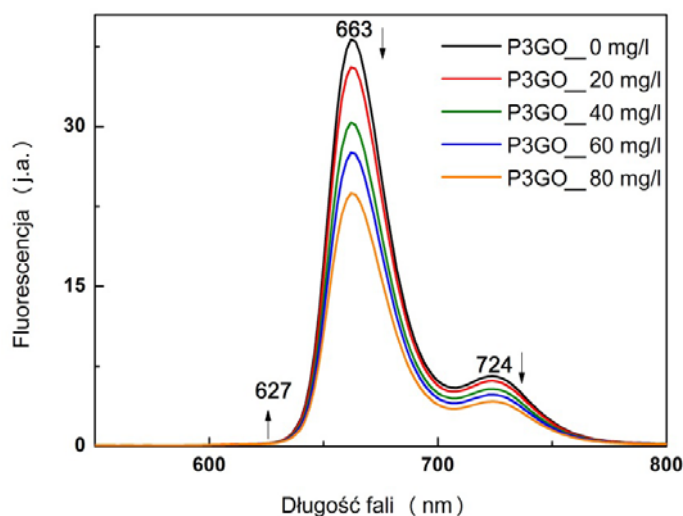
Zarejestrowane widmo absorpcji dla porfiryny (rys. 3) jest charakterystyczne i zgodne z danymi literaturowymi dla tej grupy materiałów i wyróżnia się intensywnym pasmem Soreta, położonym przy 422 nm oraz czterema pasmami Q z maksimami przy 518, 556, 595 i 652 nm. Widmo fluorescencji natomiast odznacza się dwoma maksimami przy 663 i 726 nm (rys. 3) [19].



Rys. 3. Zestawienie widm absorpcji (lewe) i fluorescencji (prawe) dla porfiryny o stężeniu  $10^{-4}$  M przy długości fali wzbudzającej 418 nm [13].

Dla układu P3GO zmierzone widma absorpcji przy różnych stężeniach tlenku grafenu nie wykazują większych zmian w kształcie i położeniu maksimów. Natomiast widma fluorescencji zarejestrowane dla ww. próbek, przy stężeniu GO 100 mg/l pokazują wyraźne

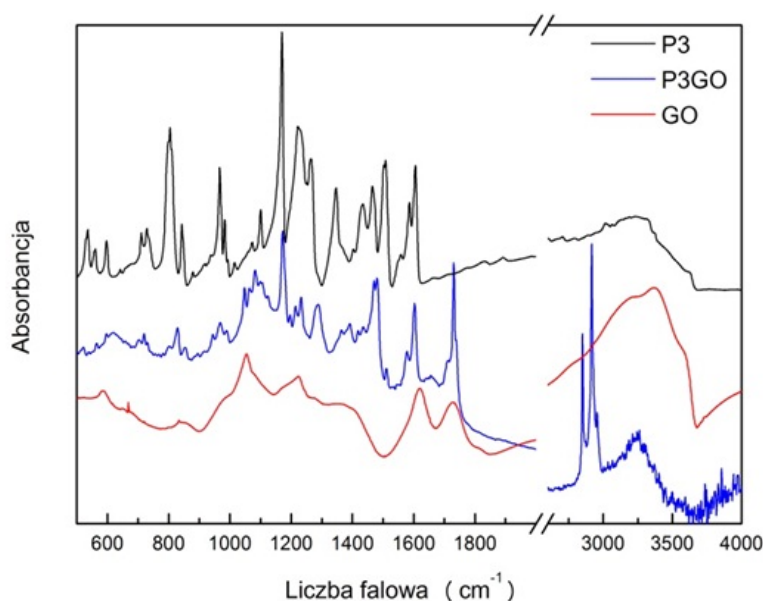
wygaszanie fluorescencji wraz ze wzrostem stężenia GO (rys. 4). Dla próbek porfiryny o stężeniu  $10^{-4}$  M i GO 100 mg/l widać, że wraz ze wzrostem stężenia GO intensywność fluorescencji maleje.



Rys. 4. Widma fluorescencji układów porfiryny o stężeniu  $10^{-4}$  M z GO dla pięciu różnych stężeń GO o wyjściowym stężeniu 100 mg/l w mieszaninie w DMF przy długości fali wzbudzającej 418 nm [13].

Obserwuje się również przesunięcia pasm fluorescencji od 1 do 7 nm. Takie zmiany w widmach fluorescencji świadczą o istnieniu konkurencyjnego do fluorescencji procesu dezaktywacji stanów wzbudzonych w układach porfiryryna-GO. Najbardziej prawdopodobne jest istnienie fotoindukowanego transferu elektronu (photoinduced electron transfer (PET) lub/i transferu energii (energy transfer (ET) [17]. Podobne bowiem wygaszenie fluorescencji zaobserwowano dla układów porfiryryny z nanorurkami [3]. Również wiele innych badań pokazało, że struktury węglowe, będące w otoczeniu takich molekuł jak porfiryryny, wykazują właściwości silnych akceptorów elektronu [9]. W tym przypadku możemy

więc mieć do czynienia z przeniesieniem ładunku ze wzbudzonego stanu singletowego porfiryryny do tlenku grafenu, co łączy się z zaobserwowanym wygaszeniem fluorescencji, jak i powstawaniem nowych pasm fluorescencyjnych sugerujących powstanie kompleksu utworzonego prawdopodobnie przez grupy karboksylowe. Widmo absorpcji tlenku grafenu w podczerwieni charakteryzuje się dwoma pasmami przy  $1056\text{ cm}^{-1}$ ,  $1727\text{ cm}^{-1}$  odpowiadającymi odpowiednio drganiom rozciągającym wiązań C-O i C=O, oraz pasmem  $1223\text{ cm}^{-1}$  charakterystycznym dla drgań rozciągających wiązań C-O-C (rys. 5).



Rys. 5. Zestawienie widm absorpcji dla czystego tlenku grafenu (GO), czystej porfiryryny (P3) i kompleksu tlenek grafenu-porfiryryna (P3GO) [13].

Okolo  $3500\text{ cm}^{-1}$  obserwowane jest również bardzo szerokie pasmo związane z drganiem rozciągającym C-OH pochodzącym od grup OH tlenku grafenu, ale również mogą pochodzić z zaabsorbowania wody na powierzchni GO podczas jego syntezy. Przy  $1616\text{ cm}^{-1}$  obserwowane jest natomiast pasmo, związane z drganiami szkieletu nieutlenionych domen grafitowych [5, 18].

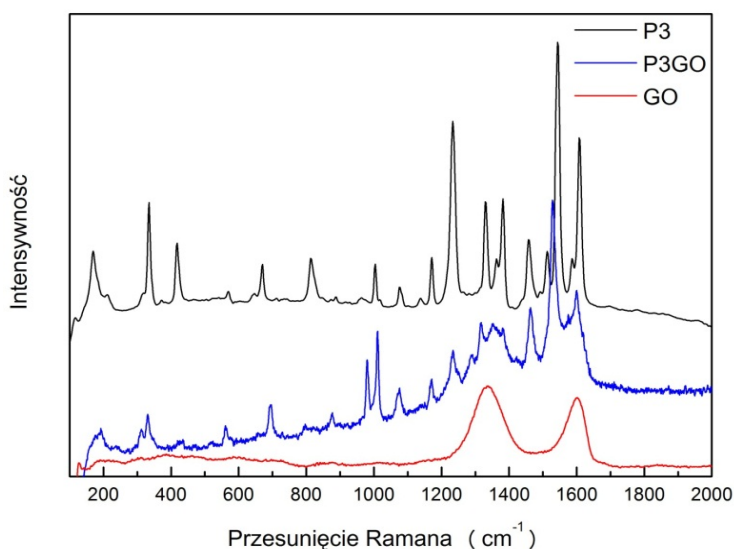
Widmo rozpraszania ramanowskiego dla tlenku grafenu (rys. 6) charakteryzuje się pasmami zarejestrowanymi przy  $1334\text{ cm}^{-1}$  (pasmo D) oraz  $1603\text{ cm}^{-1}$  (pasmo G), które w innych badaniach obserwowano przy wartościach  $\sim 1350\text{ cm}^{-1}$  oraz  $\sim 1580\text{ cm}^{-1}$  [10]. Intensywność pasma D (ang. Defects) jest wyznacznikiem obecności defektów w strukturze grafenowej oraz stopnia funkcjonalizacji egzohedralnej, odpowiada tym samym za nieuporządkowanie struktury i w przypadku macierzystego grafitu ma względnie małą intensywność świadcząca o wysoce krystalicznej strukturze badanej próbki. Pasmo D powstaje w wyniku rozpraszania fotonu na fononach optycznych iTO (ang: In plane Transverse Optical - drgania zachodzące w płaszczyźnie grafenu, poprzeczne) z okolicy punktu K strefy Brillouin'a.

Natomiast kształt i intensywność pasma G, które również powstaje w wyniku rozpraszania fotonu na fononie optycznym iTO, odpowiada obecności domen o hybrydyzacji  $sp^2$ . Stosunek intensywności pasm ID/IG dający informacje o strukturze i jej uporządkowaniu dla badanego GO wynosi 1,18 i potwierdza zwiększenie nieuporządkowania w strukturze GO, gdzie przeważają węgle o odmiennej hybrydyzacji a sam produkt ulega częściowej eksfoliacji [6].

Analizując eksperymentalne widma absorpcji w zakresie IR i rozpraszania ramanowskiego (rys. 5 i 6), można wyróżnić wiele charakterystycznych pasm dla porfiryryny. Przy niskich częstotliwościach można zaobserwować pasma:  $535$ ,  $560$ ,  $597$ ,  $729$ ,  $804$ , i  $983\text{ cm}^{-1}$ . Trzy pierwsze związane są z drganiami wachlarzowymi wiązań C-H przy pierścieniu benzenowym i deformacją pierścienia porfiryrynowego. Kolejne trzy pasma odpowiadają odpowiednio drganiom wachlarzowym wiązań N-H w pierścieniu porfiryrynowym, w tym drugie pasmo posiada dodatkowo składową związaną z drganiami wachlarzowymi wiązań C-H również przy pierścieniu porfiryrynowym, natomiast trzecie pasmo

obserwowane przy  $983\text{ cm}^{-1}$  jest związane z oddychaniem pierścieni pirolowych w porfirynie. Charakterystyczne również są pasma związane z drganiami rozciągającymi wiązań C-C i C=C zarówno w pierścieniu porfiryńowym jak i benzenowym. W widmach absorpcji obserwowane są one odpowiednio przy  $1465$ ,  $1508$ ,  $1586$  i  $1605\text{ cm}^{-1}$ . Natomiast pasmo w okolicach  $1230\text{ cm}^{-1}$ , odpowiada drganiom rozciągającym wiązań C-C między pierścieniem porfiryńowym i grupą arylową. Pasma to bardziej widoczne i dużo silniejsze jest w widmie rozpraszania ramanowskiego i położone jest przy  $1234\text{ cm}^{-1}$ . Przy wyższych częstotliwościach widocznych jest jeszcze kilka pasm położo-

nych przy:  $1381$ ,  $1459$ ,  $1516$ ,  $1544$  i  $1608\text{ cm}^{-1}$ . Ostatnie pasmo widoczne jest również w widmie absorpcyjnym i odpowiada drganiom rozciągającym wiązań C-C i C=C w pierścieniu benzenowym. Natomiast pozostałe pasma są związane w większości z drganiami rozciągającymi wiązań C-C i C=C oraz C-N w pierścieniu porfiryńowym i drganiami kołyszącymi wiązań C-H i N-H przy pierścieniu porfiryńowym. W widmach absorpcyjnych w podczerwieni dla porfiryny widoczne są również dość silne i charakterystyczne pasmo przy  $1169\text{ cm}^{-1}$  związane z drganiem zginającym wiązań C-O-H w grupie arylowej, jak i pasmo  $1263\text{ cm}^{-1}$  związane z drganiem rozciągającym wiązań C-O w ww. podstawniku [1].



Rys. 6. Zestawienie widm Ramana dla czystego tlenku grafenu (GO), czystej porfiryny (P3) i kompleksu tlenek grafenu-porfiryna (P3GO) [13].

Widmo absorpcyjne w zakresie podczerwieni dla układu P3GO (rys. 5) charakteryzuje się pasmami obserwowanymi dla czystej porfiryny, niemniej jednak pasma te różnią się kształtem, względną intensywnością pasm, a ich maksima ulegają przesunięciom. Szczególnie widoczne jest to dla pasm rejestrowanych dla P3 przy  $804$ ,  $966$ ,  $1263$ ,  $1433$ ,  $1465\text{ cm}^{-1}$ , związanych zarówno z drganiami wachlarzowymi wiązań C-H i N-H przy molekule porfiryny, jak i szeroko pojętym oddychaniem pierścienia porfiryńowego, a także z drganiami rozciągającymi C-C w pierścieniu benzenowym czy drganiami zginającymi wiązań C-OH w podstawniku arylowym. Takie zmiany mogą wpływać np. z usztywnienia molekuly porfiryny, znajdującej się w obrębie płaszczyn tlenku grafenu. Różnice są również obserwowane w obrębie pasma  $1727\text{ cm}^{-1}$ , które w GO odpowiada drganiom rozciągającym wiązań C=O. Dla kompleksu P3GO pasmo to zmienia swój kształt, za co mogą być odpowiedzialne oddziaływania grupy karboksylowej GO z porfiryną. Poza tym pojawia się dodatkowy ostry pik w  $1731\text{ cm}^{-1}$ , który przypisujemy rozpuszczalnikowi DMF.

Z danych literaturowych [2] wynika dodatkowo, że w układach tego typu zanika charakterystyczne pasmo dla GO przy  $1380\text{ cm}^{-1}$ , co z kolei jednoznacznie wskazuje na powstanie wiązania kowalencyjnego między porfiryną i tlenkiem grafenu, poprzez grupę karboksylową. Niestety, w naszym przypadku nie można jednoznacznie określić, czy pasmo to zanika, niemniej jednak na pewno zmiany w widmie P3GO w tym zakresie zachodzą, co może sugerować powstanie ww. wiązania. Dla układu P3GO pojawia się też pasmo  $1285\text{ cm}^{-1}$ , które może być zarówno związane z istniejącym pasmem  $1263\text{ cm}^{-1}$  w widmie P3 odpowiadającym drganiom rozciągającym C-O, jak również może być zupełnie nowym pasmem związanym z drganiami wiązań C-O-C, które mogą powstawać podczas tworzenia hybrydy P3GO. Bardzo widoczne są także zmiany powyżej  $3000\text{ cm}^{-1}$ , gdzie zlokalizowane są pasma odpowiadające drganiom rozciągającym wiązań C-H, O-H i N-H. O ile dla samych porfiryn pasma związane z drganiem C-H są o bardzo małej intensywności położone na szerokim paśmie związanym z drganiem rozciągającym wiązań O-H, o tyle dla kompleksu P3GO widocz-

ne są dwa bardzo silne pasma przy 2851 i 2919  $\text{cm}^{-1}$ , które pochodzą od rozpuszczalnika DMF.

Dla modyfikowanego GO molekułą porfiryny P3 widmo rozpraszania ramanowskiego zachowuje swój charakter widma dla czystego GO, widać bowiem w zakresie 1300-1600  $\text{cm}^{-1}$  szersze masywy, na których znajdują się węższe pasma odpowiadające tym zarejestrowanym dla czystej porfiryny P3. W większości w widmie dla P3GO obserwowane są prawie wszystkie charakterystyczne pasma dla P3. Zanikają tylko (ich intensywność drastycznie spada) pasma przy 417 i 814  $\text{cm}^{-1}$  odpowiadające deformacji pierścienia benzenowego jak i drganiom zginającym C-C-C w tym pierścieniu oraz drganiom wachlarzowym wiązań N-H, a także niewielkim drganiem rozciągającym wiązań C-O w grupie aryłowej. Pozostałe pasma ulegają przesunięciom, rzędu od 1 do 22  $\text{cm}^{-1}$  [13]. Zmiany takie mogą sugerować oddziaływanie między molekułami porfiryn i tlenkiem grafenu.

## Podsumowanie

Przeprowadzone badania wskazują na wygaszanie fluorescencji wraz ze wzrostem ilości tlenku grafenu w układzie jako przejaw transferu elektronu/energii od porfiryny do GO. Zmiana położenia i intensywności pasm w widmach z zakresu podczerwieni sugerują istnienie oddziaływań między porfiryką i GO, przypuszczalnie przy udziale grup karboksylowych i hydroksylowych. Widma w podczerwieni pokazały, że w procesie syntezy kompleksu zaabsorbowany został rozpuszczalnik DMF.

Z przeprowadzonych badań spektroskopowych można wnioskować, iż próba stworzenia kompleksu molekularnego polegającego na modyfikacji powierzchni tlenku grafenu molekułami porfiryn zaowocowała stworzeniem układu, w którym prawdopodobnie występują oddziaływania „ $\pi$ - $\pi$  stacking” i wiązania wodorowe o czym świadczą powyższe zmiany.

## Literatura

1. Aydin, M., DFT and RAMAN spectroscopy of porphyrin derivatives: Tetraphenylporphine (TPP), *Vibrational Spectroscopy*, 2013, 68: pp. 141-152.
2. Bala Murali Krishna, M., Venkatramiah, N., Venkatesanb, R., Narayana Rao, D., Synthesis and structural, spectroscopic and nonlinear optical measurements of graphene oxide and its composites with metal and metal free porphyrins, *Journal of Materials Chemistry*, 2012, 22, pp. 3059-3068.
3. Baskaran, D., Mays, J.W., Peter Zhang, X., Bratcher, M.S., Carbon Nanotubes with Covalently Linked Porphyrin Antennae: Photoinduced Electron Transfer, *Journal of the American Chemical Society*, 2005, 127, pp. 6916-6917.
4. Chen, D., Feng, H., Li, J., Graphene Oxide: Preparation, Functionalization, and Electrochemical Applications, *American Chemical Society*, 2012, 13, pp. 6027-6053.
5. Choi, E.-Y., Han, T.H., Hong, J., Kim, J.E., Lee, S.H., Kim, H.W., Kim, S.O., Electronic Supplementary Information (ESI) for Noncovalent Functionalization of Graphene with End-Functional Polymers, *Journal of Materials Chemistry*, 2010, 20, pp. 1907-1912.
6. Ciszewski, M., Badania procesu utleniania i interkalacji grafitu wybranymi pierwiastkami i ich związkami, Rozprawa doktorska, Politechnika Śląska, Gliwice, 2014.
7. Compton, O.C., Nguyen, S.T., Graphene Oxide, Highly Reduced Graphene Oxide, and Graphene: Versatile Building Blocks for Carbon-Based Materials, *Small*, 2010, 6, pp. 711-723.
8. Dargiewicz-Nowicka, J., Radzki, S., Chemi- i biosensory optyczne wykorzystujące porfiryny, *Acta Bio-Optica et Informatica Medica. Inżynieria Biomedyczna*, 2002, 8, pp. 119-131.
9. Fowler, P.W., Cedemans, A., Electron Deficiency of the Fullerenes, *The Journal of Physical Chemistry*, 1995, 99, pp. 508-510.
10. Grodecki, K., Spektroskopia ramanowska grafenu, *Materiały Elektroniczne*, 2013, 1, s.47-53.
11. Hummers, W.S., Jr., Offeman, R.E. 1958. Preparation of Graphitic Oxide, *Journal of the American Chemical Society*, 1958, 80(6), pp. 1339-1339.
12. Karousis, N., Sandanayaka, A.S.D., Hasobe, T., Economopoulos, S. P., Sarantopoulou, E., Tagmatarchis, N., Graphene oxide with covalently linked porphyrin antennae: Synthesis, characterization and photophysical properties, *Journal of Materials Chemistry*, 2011, 21(1), pp. 109-117.
13. Rosiak, N., Własności spektroskopowe kompleksów utworzonych przez tlenek grafenu i pochodne porfiryn z grupami aryłowymi, Praca Dyplomowa Inżynierska, 2016.
14. Szabo, T., Berkesi, O., Forgo, P., Josepovits, K., Sanakis, Y., Petridis, D., Dekany, I., Evolution of Surface Functional Groups in a Series of Progressively Oxidized Graphite Oxides, *Chem. Mater.*, 2006, 18(11), pp. 2740-2749.
15. Trytek, M., Makarska, M., Polska, K., Radzki, S., Fiedurek, J., 2005. Porfiryny i ftalocyjaniny, Cz. I, Właściwości i niektóre zastosowania, *Biotechnologia*, 2005, 71(4), pp. 109-127.
16. Yamuna, R., Ramakrishnan, S., Dhara, K., Devi, R., Kothurkar, N.K., Kirubha, E., Palanisamy, P.K., Synthesis, characterization, and nonlinear optical properties of graphene oxide functionalized with tetra-amino porphyrin, *Journal of Nanoparticle Research*, 2013, 15, p. 1399.

17. Xu, Y., Liu, Z., Zhang, X., Wang, Y., Tian, J., Huang, Y., Ma, Y., Zhang, X., Chen, Y., A Graphene Hybrid Material Covalently Functionalized with Porphyrin: Synthesis and Optical Limiting Property, *Adv. Mater.*, 2009, 21, pp. 1275–1279.
18. Xu, Y., Bai, H., Lu, G., Li, C., Shi, G., Flexible Graphene Films via the Filtration of Water-Soluble Noncovalent Functionalized Graphene Sheets, *Journal of the American Chemical Society*, 2008, 130(18), pp. 5856-5857.
19. Zheng, W., Shan, N., Yu, L., Wang, X., UV-visible, fluorescence and EPR properties of porphyrins and metalloporphyrins, *Dyes and Pigments*, 2008, 77(1), pp. 153-157.

*Praca naukowa finansowana w ramach programu Ministra Nauki i Szkolnictwa Wyższego pod nazwą „Juventus Plus” w latach 2015-2017, nr projektu IP2014 025673.*